

습식 화학적 환원법에 의한 AgNO_3 로부터 Ag 분말의 제조 1. 균일한 구형 Ag 분말의 제조를 위한 최적 반응계 확립

윤기석* · 박영철^a · 양범석 · 민현홍^a · 원창환

충남대학교 금속응고센터

^a(주)씨에라 인더스트리

Preparation of Ag Powder from AgNO_3 by Wet Chemical Reduction Method

1. The Establishment of Optimum Reaction System for the Preparation of Spherical Ag Powder

Ki Seok Yun*, Young Chul Park^a, Beom Seok Yang, Hyun Hong Min^a, Chang Whan Won

Rapidly Solidified Materials Research Center Chungnam National University, Taejeon, 305-764, KOREA

^aSierra Industry Co. LTD. Seoul, 135-729, KOREA

(Received 27 December 2004 ; Accepted 16 February 2005)

Abstract Ag powder was prepared from AgNO_3 by wet chemical reduction method using various reduction agent system involving AgNO_3 , $\text{Ag}_2\text{O}(\text{AgCl})$ and Ag complex ion aqueous solution. The pure Ag powder could be prepared regardless of reaction system but the particle shape and distribution were affected very much according to the kind of reduction agents and reaction systems. The optimum reaction system for the preparation of the silver powder having the uniform particle shape and size distribution was Ag complex ion aqueous solution-reduction agent system and in particular, H_2O_2 and $\text{C}_6\text{H}_8\text{O}_6$ as a reduction agent leaded the more uniform particle shape and size distribution.

Keywords : Wet chemical reduction method, Reduction agent, Reaction system, Particle shape, Particle size distribution

1. 서 론

균일한 입도분포를 갖는 초미립 Ag 분말은 높은 전기적·열적 전도성, 우수한 내산화성 등의 특성 때문에 도전성 잉크, paste, PDP 모듈전극용, EMI 차폐, LCD spacer 소재 및 MLCC(적층 세라믹 콘텐서) 외부전극용 등으로 이용되는 전자산업계에서 가장 중요한 재료 중 하나이다. 또한 Ag colloid의 경우 실균효과가 입증된 후 의약분야 및 실생활 전반에 걸쳐 적용분야가 확대되고 있는 상황이다. 따라서 균일한 입도분포를 갖는 초미립 Ag 분말은 최근 그 응용분야가 확산되어 전 세계적으로 수요가 급속하게 증가하고 있는 추세이다^[1,2].

전통적으로 Ag 분말의 제조를 위해 화학적 환원법^[3-4], 광화학 또는 방사선-화학적 환원법^[5], 열분해법^[6], 초음파화학법^[7], 그리고 polyol 법^[8] 등이 이용되었다. 그러나 현재 전자산업계에서 사용되고 있는 Ag 분말은 단분산성, 균일한 입형, 약 0.5~2 μm 정도의 입도와 같은 특성이 요구되고 있다. 따라서 균일한 입도분포를 갖는 초미립 Ag 분말의 제조를 위해 가장 적합하다고 생각되는, 그리고 현재 전 세계적으로 주로 이용되고 있는 방법인 수용액 또는 이온수용액으로부터의 화학적 환원법이 가장 적합하다고 생각된다.

일반적으로 화학적 환원법은 입성장의 제어나 단분산성을 위한 적당한 분산제의 존재하에서 목적하는 금속염으로부터 환원제에 의한 환원반응을 포함

*Corresponding Author : [Tel : +82-42-821-5296; E-mail : ykstone@empal.com]

한다. 현재 화학적 환원법에 의한 Ag 분말 제조의 경우 일반적으로 출발물질로서 silver nitrate(AgNO_3)가 사용되고 있다. 또한 AgNO_3 는 필요에 따라 수용액, 이온수용액(Ag^+), 산화물(Ag_2O)²⁾, 염화물(AgCl)⁹⁾ 등의 중간상을 거쳐 Ag 분말로 환원반응을 거치게 된다. 또한 이 때 사용되는 환원제로서는 무기계 환원제인 hydrazine monohydrate($\text{N}_2\text{H}_4\text{H}_2\text{O}$)¹⁰⁾, sodium borohydride(NaBH_4)¹¹⁾, 유기계 환원제인 formaldehyde (HCOH)²⁾, L(+)-ascorbic acid($\text{C}_6\text{H}_8\text{O}_6$)¹²⁾ 등이 사용되고 있다.

따라서 본 연구에서는 Ag 원으로서 AgNO_3 를 이용하여 AgNO_3 수용액으로부터 환원반응에 의한 Ag 분말의 직접 제조, 또는 AgNO_3 수용액으로부터 Ag_2O , AgCl 과 같은 중간상을 거친 후 Ag 분말의 제조, 이온수용액으로부터 Ag 분말의 제조와 같이 반응계를 변화시켜 생성되는 Ag 분말의 특성을 관찰하였다. 또한 환원제로서 hydrazine monohydrate ($\text{N}_2\text{H}_4\text{H}_2\text{O}$), sodium borohydride(NaBH_4)와 유기계 환원제인 ascorbic acid($\text{C}_6\text{H}_8\text{O}_6$), 그리고 silver nitrate(AgNO_3) 수용액에 암모니아 수(NH_4OH)를 첨가하였을 경우 Ag^+ 이온의 환원을 유도할 수 있는 hydrogen peroxide(H_2O_2)¹³⁾를 사용하여 환원제에 따른 생성물의 특성을 관찰하여 균일한 입형과 입도분포를 갖는 Ag 분말의 제조를 위한 최적의 반응계를 정립하고자 한다.

2. 실험방법

본 연구에서의 전체적인 실험 공정은 상온에서 magnetic bar를 이용하여 교반을 하면서 행하여졌다. 출발물질인 AgNO_3 를 증류수에 용해시켜 수용액을

제조하였고 필요에 따라 제조된 AgNO_3 수용액에 NaOH 나 NaCl 을 첨가하여 Ag 산화물(Ag_2O)이나 Ag 염화물(AgCl)을 제조하였다. 또한 AgNO_3 수용액에 NH_4OH 를 첨가함으로써 복합이온수용액을 제조하였다. 여기에 각각의 환원제의 첨가량과 농도에 따라 환원반응을 유도하였으며 반응이 완료된 후 생성된 Ag 분말을 침전시켰다. 침전된 Ag 분말은 중류수를 이용하여 수차례의 수세를 행하였고 약 60°C의 대기중에서 건조하였다. 본 연구에서 각각의 반응계와 환원제의 변화에 따라 생성되는 Ag 분말의 특성을 비교하기 위하여 AgNO_3 수용액의 농도와 첨가되는 환원제의 농도를 일정하게 고정하였다. AgNO_3 수용액의 농도는 반응계와 환원제의 종류에 관계없이 0.5M으로 고정하였고 또한 환원제의 농도는 0.2M로 고정하였다.

생성물의 상을 확인하기 위하여 XRD(SIEMENS사, Model : D5000)를 이용하였고 생성물의 입형은 SEM (JEOL, Model : JSM-5410)을 이용하여 분석하였다. 본 연구에서 사용한 원료의 종류 및 특성을 표 1에 나타내었고 개략적인 실험공정을 Fig. 1에 나타내었다.

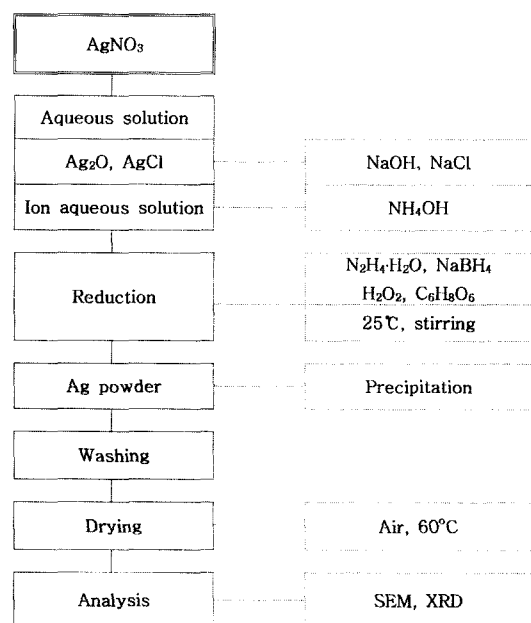


Table 1. The properties of reagents used in this study.

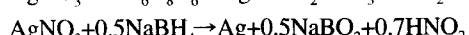
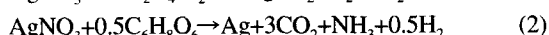
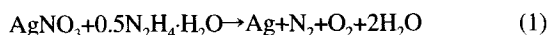
AgNO_3	99.9%, KOJIMA Chem.CO.LTD, Japan
NH_4OH	10~35% Ammonia, J.T.Baker, USA
NaOH	98%, SAMCHUN Pure Chem.CO.LTD, Korea
NaCl	99.5%, SAMCHUN Pure Chem.CO.LTD, Korea
$\text{N}_2\text{H}_4\text{H}_2\text{O}$	80%, SAMCHUN Pure Chem.CO.LTD, Korea
NaBH_4	98%, ACROS Organics, USA
$\text{C}_6\text{H}_8\text{O}_6$	99.5%, SAMCHUN Pure Chem.CO.LTD, Korea

Fig. 1. Schematic procedure of wet chemical reduction method for the preparation of Ag powder.

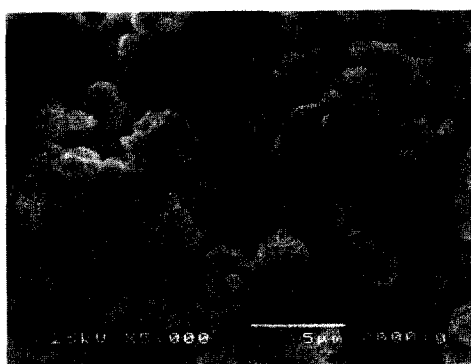
3. 결과 및 고찰

3.1. AgNO_3 수용액으로부터 Ag 분말의 제조

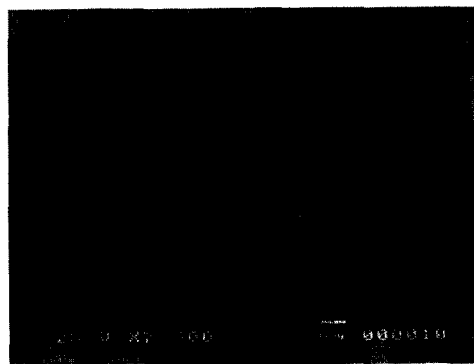
다음은 AgNO_3 를 중류수에 용해시킨 후 AgNO_3 수용액으로부터 다양한 환원제($\text{N}_2\text{H}_4\text{H}_2\text{O}$, NaBH_4 , $\text{C}_6\text{H}_8\text{O}_6$)에 따른 반응식을 나타낸 것이다. 이 때 반응은 매우 빠르게 진행되어 $\text{N}_2\text{H}_4\text{H}_2\text{O}$ 와 NaBH_4 를 첨가하였을 경우 첨가하는 동시에 반응이 격렬하게 진행되어 완결되었으며, $\text{C}_6\text{H}_8\text{O}_6$ 의 경우 약 30~60초 사이에 반응이 완결되는 것을 관찰할 수 있었다.



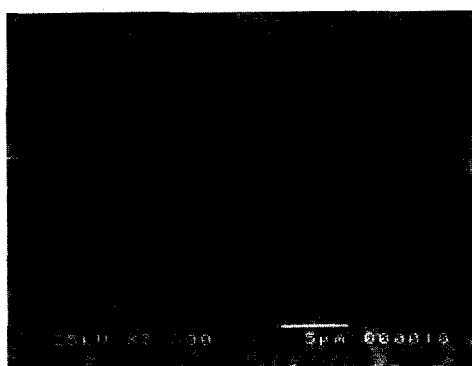
윗 식에서 볼 수 있는 바와 같이 AgNO_3 는 각각의 환원제와 반응하여 대부분 N_2 , O_2 , H_2 , NH_3 , CO_2 와 같은 기체와 H_2O 를 발생할 것으로 예상되어 중류수를 이용한 수세과정을 통하여 순수한 Ag 분말을 회수할 수 있으리라 예상된다. 또한 NaBH_4 를 사용한 (3)식 경우 환원반응 후 NaBO_2 가 생성되는데 NaBO_2 는 다시 H_2O 와 반응하여 NaOH 와 HBO_2 를 생성하게 된다. 이 때 생성되는 NaOH 는 용액을 알카리성으로 변화시키므로 알카리성에서 용해도가 높아지는 HBO_2 는 용액내에서 용해되어 수세과정에서 쉽게 제거되어질 수 있다. Ag 분말의 회수율은 전체



(a)



(b)



(c)

Fig. 2. SEM photographs of Ag powder synthesized with various reduction agents in the reaction system of AgNO_3 aqueous solution-reduction agent:

- (a) $\text{AgNO}_3 + 0.5\text{N}_2\text{H}_4\text{H}_2\text{O}$
- (b) $\text{AgNO}_3 + 0.5\text{C}_6\text{H}_8\text{O}_6$
- (c) $\text{AgNO}_3 + 0.5\text{NaBH}_4$

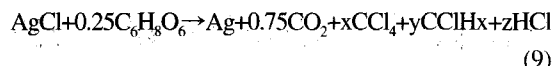
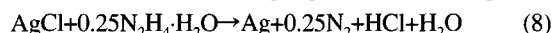
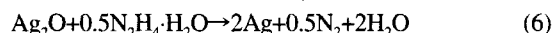
적으로 Ag/AgNO_3 의 이론값인 63.5%에 가까운 55~60%를 나타내어 침전 및 수세과정에서의 실험적 손실량을 감안하면 이론값의 100%에 가까운 회수율을 나타냈다 할 수 있다. 상기 반응식들은 가능한 반응을 이론적으로 기술한 것으로 실제 반응과정에서 생성되는 반응물의 농도는 가변적일 것으로 예상된다.

Fig. 2는 상기 반응식(1)-(3)에 따라 생성된 Ag의 입형을 SEM으로 관찰한 사진이다. 여기서 볼 수 있는 바와 같이 환원제의 종류에 관계없이 입형이 매우 불규칙한 부정형의 형태를 나타내었다. 환원제로서 $\text{N}_2\text{H}_4\cdot\text{H}_2\text{O}$ 가 사용된 (a)의 경우 생성된 Ag 입자간 약간의 necking이 이루어져 있음을 알 수 있으며, $\text{C}_6\text{H}_8\text{O}_6$ 가 사용된 (b)의 경우에는 생성된 입자들간의 강한 응집에 의한 결합이 이루어져 입자가 성장되었음을 관찰 할 수 있다. 실제로 Fukuyo¹⁴⁾는 $\text{C}_6\text{H}_8\text{O}_6$ 를 환원제로 이용하여 AgNO_3 로부터 Ag 분말을 제조하였을 경우 $\text{C}_6\text{H}_8\text{O}_6/\text{AgNO}_3$ 의 몰비가 변화함에 따라 짧은 꽃잎 모양이 뭉쳐 있는 모양(0.51), 육각판상형의 꽃잎 모양이 뭉쳐 있는 모양(0.69) 그리고 수지상 모양의 꽃잎 모양(1.21)을 얻을 수 있다고 보고 했으나 균일한 입형과 입도분포의 단분산성 Ag 분말은 얻지 못했다. NaBH_4 가 사용된 (c)의 경우에는 입자간 necking이나 결합의 흔적은 없으나 입도분포가 매우 불균일함을 관찰할 수 있다.

3.2. Ag_2O , AgCl 로부터 Ag 분말의 제조

다음 반응식((4)-(9))들은 AgNO_3 수용액으로부터

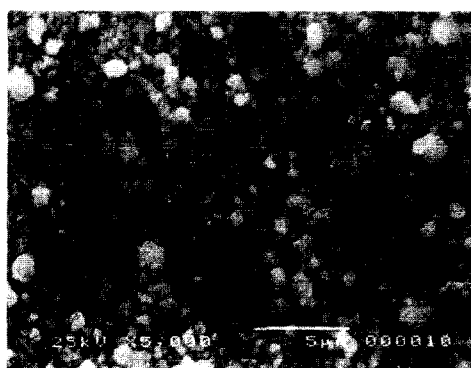
NaOH 와 NaCl 을 각각 첨가하여 Ag 산화물(Ag_2O)과 염화물(AgCl)의 중간상을 거친 후 다시 각각의 환원제($\text{N}_2\text{H}_4\cdot\text{H}_2\text{O}$, NaBH_4 , $\text{C}_6\text{H}_8\text{O}_6$)에 의한 환원반응에 의해 Ag 가 생성되는 반응을 나타낸 것이다.



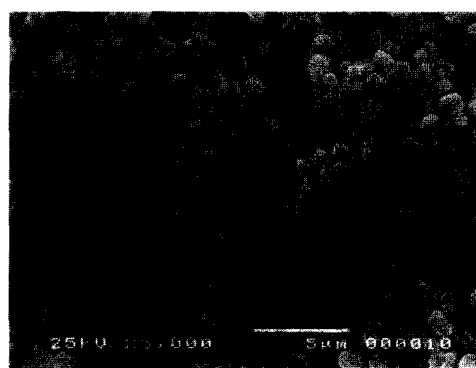
윗 식에서 (4), (5)식은 AgNO_3 수용액에 NaOH 와 NaCl 을 첨가하여 Ag_2O 와 AgCl 을 생성하는 반응식을 나타낸 것이다. 생성되는 Ag_2O 와 AgCl 은 각각 갈색과 흰색의 분말로 침전되므로 반응 후 여액과 쉽게 분리될 수 있으며 함께 생성된 NaNO_3 는 수용성이므로 수세에 의해 제거될 수 있었다.

Fig. 3은 반응식 (4), (5)에 의해 생성된 Ag_2O 와 AgCl 의 SEM 사진을 나타낸 것이다. 여기에서 볼 수 있는 바와 같이 Ag_2O (Fig. 3(a))는 응집현상은 심하지 않았으나 약 1 μm 이하의 매우 불균일한 입도분포를 나타내고 있다. 반면 AgCl (Fig. 3(b))은 약 1 μm 의 비교적 균일한 입도분포를 나타내고 있으나 입자간 응집현상이 존재하고 있음을 알 수 있었다.

Fig. 4는 Ag_2O 와 AgCl 로부터 다양한 환원제에 의



(a)



(b)

Fig. 3. SEM photographs of Ag_2O (a) and AgCl (b).

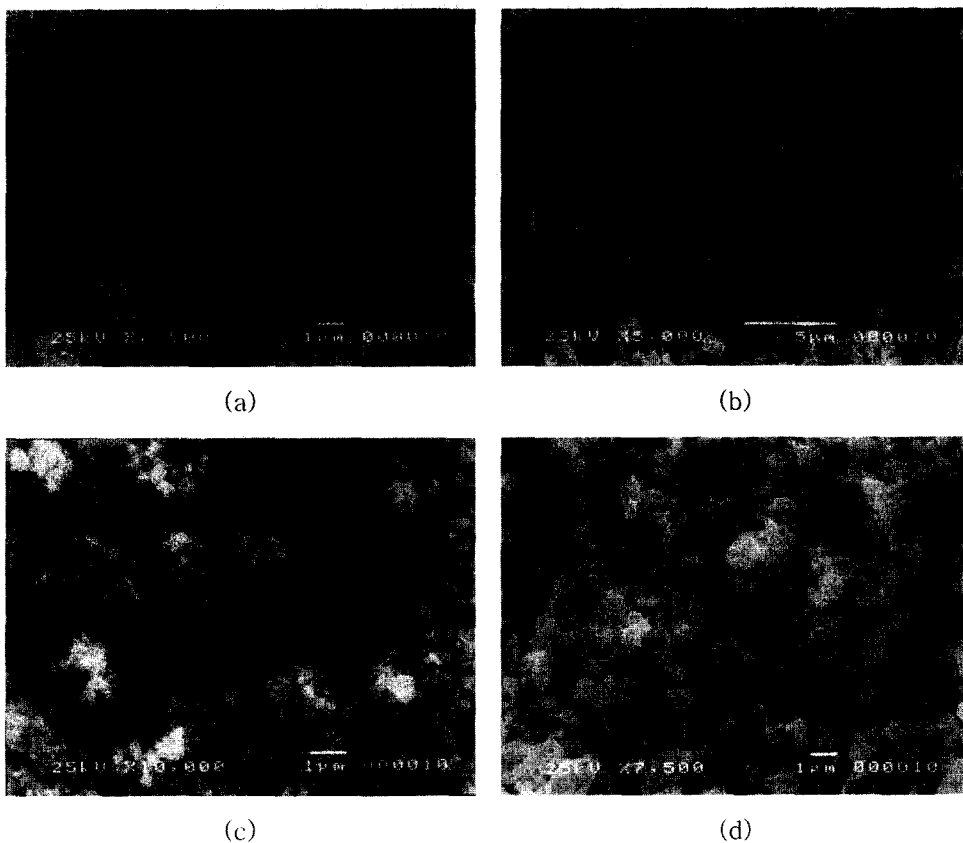


Fig. 4. SEM photographs of Ag powder synthesized with various reduction agents and reaction systems:

- (a) $\text{Ag}_2\text{O}+0.5\text{N}_2\text{H}_4\cdot\text{H}_2\text{O}$
- (b) $\text{Ag}_2\text{O}+0.5\text{NaBH}_4$
- (c) $\text{AgCl}+0.25\text{C}_6\text{H}_8\text{O}_6$
- (d) $\text{AgCl}+0.25\text{N}_2\text{H}_4\cdot\text{H}_2\text{O}$.

해 생성된 Ag 분말의 입형을 SEM 사진으로 나타낸 것이다. 실제 반응에 있어 생성된 Ag_2O 와 AgCl 은 심하게 응집되어 침전되고 이는 환원반응에 의한 Ag 분말의 제조시 입자의 조대화 또는 입도분포의 불균일화를 초래하는 것으로 알려져 있다. 따라서 본 실험에서는 침전된 Ag_2O 와 AgCl 을 수차례 수세한 후 중류수에서 초음파 분쇄과정을 통하여 혼탁액의 형태로 제조한 뒤 환원제를 첨가하여 환원반응을 유도하였다. Fig. 4(a)와 (b)는 각각 Ag_2O 로부터 환원제로서 $\text{N}_2\text{H}_4\cdot\text{H}_2\text{O}$ 와 NaBH_4 에 의해, Fig. 4(c)와 (d)는 AgCl 로부터 환원제로 $\text{C}_6\text{H}_8\text{O}_6$ 과 $\text{N}_2\text{H}_4\cdot\text{H}_2\text{O}$ 에 의해 제조된 Ag 분말의 입형을 나타내고 있다. 여기에서 볼 수 있듯이 모든 경우에 공통적으로 불규칙한 입형과 입도분포를 나타내고 있음을 알 수 있다.

다만 AgCl 로부터 $\text{C}_6\text{H}_8\text{O}_6$ 을 이용하여 제조된 Ag 분말의 경우 1차 입자는 대부분 $0.5 \mu\text{m}$ 이하의 미세한 입도를 나타내고 있다.

3. Ag 복합이온 수용액으로부터 Ag 분말의 제조

Ag 이온수용액을 제조하기 위하여 NH_4OH 를 첨가하였다. 완전한 Ag 이온수용액을 제조하기 위한 NH_4OH 의 첨가는 AgNO_3 수용액에 NH_4OH 를 첨가함에 따라 처음에 용액이 노란색으로 변하였다가 점점 진해져 갈색에 가까운 노란색으로 변하고 다시 용액이 투명하여질 때까지 투입하였다. 이 때 첨가량은 NH_3/Ag 가 1 이상이었다.

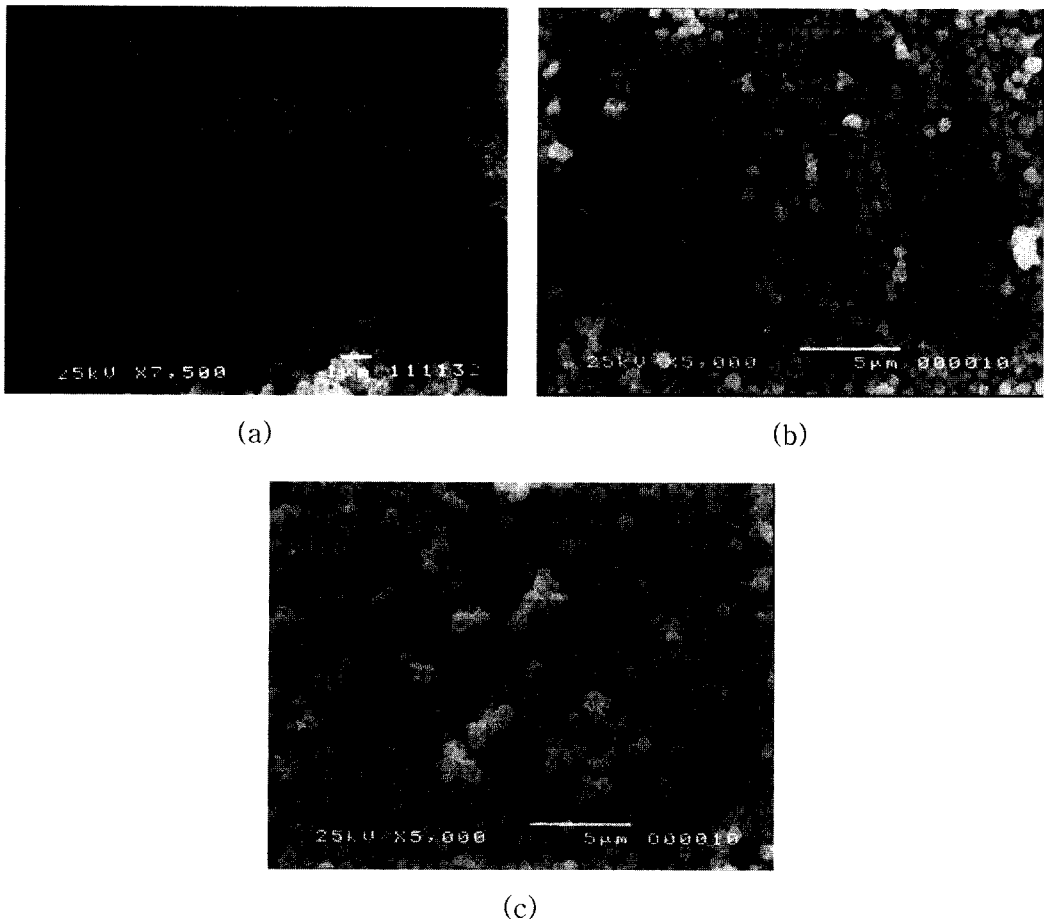
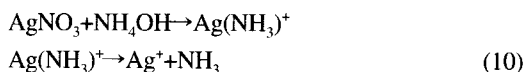


Fig. 5. SEM photographs of Ag powder synthesized with various reduction agents in the system of Ag complex ion aqueous solution-reduction agent:

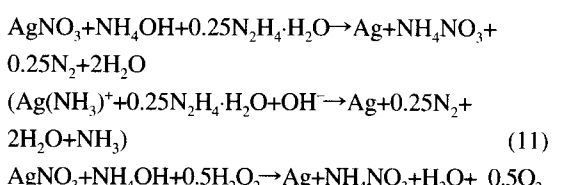
- (a) $\text{AgNO}_3 + \text{NH}_4\text{OH} + 0.25\text{N}_2\text{H}_4\cdot\text{H}_2\text{O}$
- (b) $\text{AgNO}_3 + \text{NH}_4\text{OH} + 0.5\text{H}_2\text{O}_2$
- (c) $\text{AgNO}_3 + \text{NH}_4\text{OH} + 0.25\text{C}_6\text{H}_8\text{O}_6$.

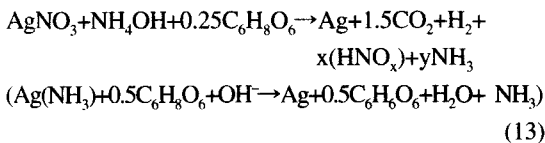
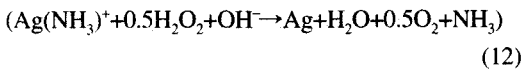


본 반응계에 있어 NH_4OH 는 두 가지의 역할을 가지고 있는 것으로 사료된다. 첫째 식(10)에서 볼 수 있는 바와 같이 Ag^+ 를 포함하는 $\text{Ag}(\text{NH}_3)^+$ 복합이온의 형성이다. 이는 용액에서 Ag^+ 이온의 집중을 저해함으로써 Ag 입자의 핵생성 및 성장을 제어할 수 있게 한다. 또 다른 역할은 OH^- 를 공급함으로써 환원성 분위기를 촉진하는 것이다. 예를 들어 H_2O_2 는

산성용액에서는 산화제로서 작용하는 반면 염기성 용액에서는 환원제로서 작용한다.

다음은 Ag 복합이온수용액으로부터 다양한 환원제 ($\text{N}_2\text{H}_4\cdot\text{H}_2\text{O}$, H_2O_2 , $\text{C}_6\text{H}_8\text{O}_6$)에 의한 Ag 분말의 제조에 관한 반응식을 나타낸 것이다.





본 반응계에서 환원반응은 환원제의 첨가와 동시에 시작되었으며, 특히 환원제로서 $N_2H_4 \cdot H_2O$ 가 첨가되었을 경우 첨가와 동시에 반응은 거의 완료되었으며 H_2O_2 가 첨가되었을 경우 반응용액은 투명한 채 변화 없이 다만 반응이 진행되면서 Ag 분말이 생성되어 옅은 갈색으로 변하였다. $C_6H_8O_6$ 가 첨가되었을 경우에는 첨가와 동시에 반응용액은 어두운 초록색을 나타내었다가 반응이 진행되면서 최종적으로 반응이 완료되었을 때 노란색으로 바뀌었다.

Fig. 5는 상기 반응식 (11), (12), (13)에 의해 제조된 Ag 분말의 입형을 SEM으로 관찰한 사진이다. 환원제로서 $N_2H_4 \cdot H_2O$ 를 이용하였을 경우인 Fig. 5(a)의 경우 $1\mu m$ 이하의 비교적 균일한 입도분포를 나타내고 있으나 입자간 응집이 매우 심함을 볼 수 있다. 환원제로서 H_2O_2 를 이용하였을 경우인 Fig. 5(b)를 보면 약 $0.5\mu m$ 의 균일한 입도분포를 나타내고 있다. 또한 입형은 전체적으로 구형을 나타내고 있으나 미량의 판상이 혼재하고 있음을 관찰 할 수 있고 균일한 입형 분포를 나타내고 있다. 환원제로서 $C_6H_8O_6$ 를 이용한 Fig. 5(c)를 보면 H_2O_2 를 사용하였을 때보다 입도가

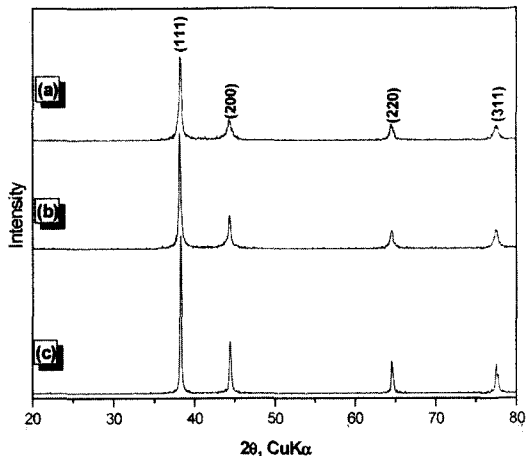


Fig. 7. XRD pattern of Ag powder synthesized in the system of Ag complex ion aqueous solution-reduction agent:
 (a) $AgNO_3 + NH_4OH + 0.25N_2H_4 \cdot H_2O$
 (b) $AgNO_3 + NH_4OH + 0.5H_2O_2$
 (c) $AgNO_3 + NH_4OH + 0.25C_6H_8O_6$.

약간 큰 $0.5\sim 1\mu m$ 의 비교적 균일한 입도분포를 나타내고 있으며 입형은 구형을 나타내고 있음을 확인할 수 있다. 또한 전체적으로 단분산성을 나타내고 있으나 약간의 약한 응집현상도 혼재하고 있음을 확인할 수 있다. 이와 같이 본 반응계에서 환원제의 종류에 따라 입형 또는 입도분포가 변화하는 것은 환원제의 환원력과 관계가 있어 보인다. 일반적으로 주로 쓰여 왔던 $N_2H_4 \cdot H_2O$ 나 $HCOH$ 는 환원력이 매우 강한 환원제로 알려져 있어 균일한 입도와 단분산성의 Ag 분말을 얻는 것은 높은 농도의 계면활성제의 존재가 없다면 매우 어려운 환원제이다.

Fig. 6은 실제 반응에 있어 환원제의 종류에 따른 반응시간을 나타낸 것이다. 그림에서 볼 수 있는 바와 같이 $N_2H_4 \cdot H_2O$ 를 첨가하였을 경우 환원제의 첨가와 동시에 반응은 시작되며 곧바로 반응이 완결되었다. 그러나 H_2O_2 또는 $C_6H_8O_6$ 의 경우 반응의 시작은 환원제의 첨가와 동시에 진행되지만 반응의 완결은 각각 60초와 240초 정도 소요되는 것으로 나타났다. 따라서 H_2O_2 또는 $C_6H_8O_6$ 의 적절한 환원력이 균일한 입형과 입도분포를 나타내는데 큰 역할을 한 것으로 사료된다.

Fig. 7은 Fig. 5의 조건에서 제조된 Ag 분말의 XRD pattern을 나타낸 것이다. 여기서 환원제의 종류에 관계없이 공통적으로 (111), (200), (220) 그리

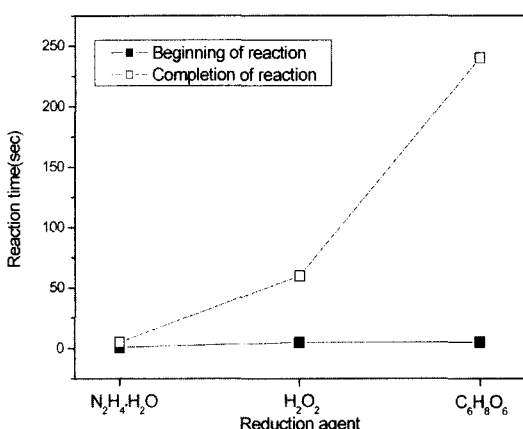


Fig. 6. Reaction time with various reduction agents in the system of Ag complex ion aqueous solution-reduction agent.

고 (311) 결정 피크를 나타내는 순수 Ag 가 생성되었음을 확인할 수 있었다. 또한 환원제로서 $\text{C}_6\text{H}_8\text{O}_6$ 을 이용한 경우인 (c)의 경우 결정성이 가장 양호한 Ag 가 생성됨을 알 수 있었다.

4. 결 론

AgNO_3 로부터 다양한 환원제를 이용한 습식 화학적 환원법에 의해 Ag 분말을 제조하였다. AgNO_3 , 수용액-환원제, $\text{Ag}_2\text{O}(\text{AgCl})$ -환원제, Ag 복합이온수용액-환원제와 같은 다양한 반응계를 선택하여 각각의 반응계에서 제조된 Ag 분말의 입형을 관찰하였다. 결과적으로 반응계나 환원제의 종류에 관계없이 순수한 Ag 분말이 제조될 수 있었으나 입형이나 입도분포는 반응계 및 환원제의 종류에 따라 크게 변화하였다. 본 실험에서의 목적인 규일한 입도분포와 입형을 가지는 단분산성의 Ag 분말의 제조를 위한 최적의 반응계는 Ag 복합이온수용액으로부터의 환원반응에 의한 Ag 분말의 제조였으며, 특히 환원제로서 H_2O_2 또는 $\text{C}_6\text{H}_8\text{O}_6$ 을 이용하였을 경우에 보다 규일한 입형과 입도분포를 가지는 Ag 분말을 제조할 수 있었다.

참고문헌

1. K. S. Chou and C. Y. Ren: Mat. Chem. Phys., **64** (2000) 241.
2. H. H. Nersisyan, J. H. Lee, H. T. Son, C. W. Won and D. Y. Maeng: Mat. Res. Bull., **38** (2003) 949.
3. R. Ueyama, M. Harada, T. Ueyama, A. Harada, T. Yamamoto, T. Shiosaki and K. Kurabayashi: J. Cer. Soc. Japan., **107**[1] (1999) 60.
4. Z. Zang, B. Zhao and L. Hu: J. Solid state Chem., **121** (1996) 105.
5. Y. Zhu, Y. Qian, M. Zhang, Z. Chen: Mater. Lett., **17** (1993) 314.
6. V. V. Boldyrev: Thermochimica Acta, **388**[1-2] (2002) 63-90.
7. R. A. Salkar, P. Jeevanandam, S. Aruna, Y. Koltypin and A. Gedanken: J. Mat. Chem., **9** (1999) 1333-1335.
8. P. Y. Silvert, R. H. Urbina and K. T. Elhsissen: J. Mat. Chem., **7** [2] (1997) 293-299.
9. V. I. Birss and C. K. Smith: Electrochimica Acta, **32**, 2 (1987) 259-268.
10. D. O. Yener, J. Sindel, C. A. Randall and J. H. Adair: Langmuir, **18** (2002) 8692-8699.
11. K. Torigoe, Y. Nakajima and K. Esumi: J. Phys. Chem., **97** [31] (1993) 8304-8309.
12. W. Songping and M. Shuyuan: Mat. Chem. Phys., **89** (2005) 423-427.
13. J. Cheng and Y. S. Li: Int. Conf. Raman Spectroscopy, **15** (1996) 750-753.
14. T. Fukuyo and H. Imai: J. Crys. Growth, **241** (2002) 193-199.